

О механизме универсальных флуктуаций кондактанса

В.В.Бражкин, И.М.Суслов

Универсальные флуктуации кондактанса обычно наблюдаются в виде аperiodических осцилляций в магнетосопротивлении тонких проволочек при изменении магнитного поля B . Если такие осцилляции являются полностью случайными на масштабах больших ξ_B , то их Фурье-анализ должен обнаруживать спектр белого шума на частотах, меньших $2\pi/\xi_B$. Альтернативный сценарий возникает при сопоставлении с результатами для одномерных систем: согласно ему, такие осцилляции определяются суперпозицией несоизмеримых гармоник и их спектр должен содержать дискретные частоты. Аккуратный Фурье-анализ классического эксперимента Вебба и Вашбуна обнаруживает чисто дискретный спектр в согласии со второй концепцией. Однако в целом его форма близка к спектру дискретного белого шума, который по свойствам близок к непрерывному.

Универсальные флуктуации кондактанса [1, 2, 3, 4] обычно наблюдаются в виде аperiodических осцилляций в магнетосопротивлении тонких проволочек при изменении магнитного поля B [5] (Рис.1). Согласно теории [1, 2, 3, 4], кондактанс $G(B)$ при фиксированном значении поля B испытывает флуктуации порядка e^2/h при изменении примесной конфигурации; флуктуации $G(B)$ и $G(B + \Delta B)$ статистически независимы, если ΔB превышает некоторый характерный масштаб ξ_B . Естественно ожидать, что на масштабах, больших ξ_B , осцилляции $G(B)$ на Рис.1 являются полностью случайными; тогда их Фурье анализ должен выявлять плоский спектр белого шума на частотах, меньших ξ_B^{-1} .

Альтернативный сценарий возникает при сопоставлении с результатами для одномерных систем [6]. Магнитное поле, перпендикулярное к тонкой проволочке создает вдоль нее квадратичный потенциал [7], который эффективно ограничивает длину системы L ; поэтому изменение магнитного поля аналогично изменению L . Сопротивление ρ одномерной системы является сильно флуктуирующей величиной и форма его функции распределения $P(\rho)$ существенно зависит от нескольких первых моментов. Действительно, Фурье-преобразование $P(\rho)$ определяет характеристическую функцию

$$F(t) = \langle e^{ipt} \rangle = \sum_{n=0}^{\infty} \frac{(it)^n}{n!} \langle \rho^n \rangle, \quad (1)$$

которая является производящей функцией моментов $\langle \rho^n \rangle$. Если известны все моменты распределения, то по ним можно построить $F(t)$, после чего $P(\rho)$ определяется обратным Фурье-

преобразованием. Если $\langle \rho^n \rangle$ растут с n не слишком быстро, то вклад высших моментов подавлен множителем $1/n!$, тогда как несколько первых моментов оказываются существенными. Эти моменты являются осциллирующими функциями L ,

$$\langle \rho \rangle = a_1(L) + b_1(L) \cos(\omega_1 L + \varphi_1), \quad (2)$$

$$\langle \rho^2 \rangle = a_2(L) + b_2(L) \cos(\omega_2 L + \varphi_2) + b_3(L) \cos(\omega_3 L + \varphi_3),$$

и т.д., где $a_k(L)$ и $b_k(L)$ — монотонные функции. Дело в том, что показатель экспоненциального роста для $\langle \rho^n \rangle$ определяется алгебраическим уравнением $(2n+1)$ -го порядка (см. Приложение), один из корней которого всегда действителен, тогда как остальные комплексны в глубине разрешенной зоны или вблизи ее края; поэтому имеется n пар комплексно сопряженных корней, которые обеспечивают наличие n частот в осцилляциях $\langle \rho^n \rangle$. В общем случае частоты ω_k являются несоизмеримыми, но их несоизмеримость исчезает в глубине разрешенной зоны при слабом беспорядке. Согласно этой картине, осцилляции $G(B)$ на Рис.1 определяются суперпозицией несоизмеримых гармоник и их Фурье-спектр должен обнаруживать наличие дискретных частот. Косвенным подтверждением этой картины являются приведенные в [6] экспериментальные данные работы [8], согласно которым функция распределения $P(\rho)$ не является стационарной, а испытывает систематические изменения аperiodического характера.

Из сказанного ясно, что Фурье-анализ зависимости $G(B)$ позволяет установить, какой из двух сценариев является правильным. При этом зависимость $G(B)$ на Рис.1 не может быть использована непосредственно, так как резкий обрыв экспериментальных данных приводит к появлению

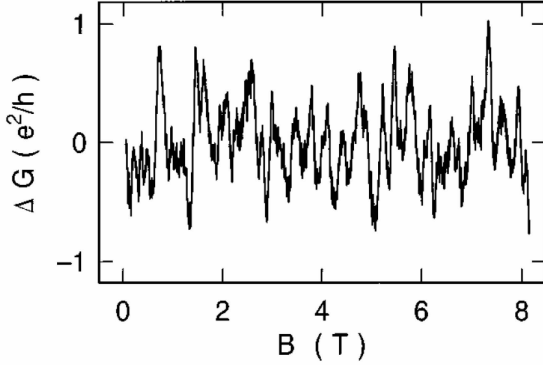


Рис. 1: Кондактанс тонкой проволоочки из Au как функция магнитного поля [5].

медленно спадающих осцилляций в ее спектре и хаотизации последнего¹. Для получения четких результатов необходимо использование надлежащей сглаживающей функции.

Пусть функция $f(x)$ определяется суперпозицией дискретных гармоник и является действительной; тогда

$$f(x) = \sum_k A_k e^{i\omega_k x} = \frac{1}{2} \sum_k [A_k e^{i\omega_k x} + A_k^* e^{-i\omega_k x}], \quad (3)$$

где частоты ω_k без ограничения общности можно считать положительными. Тогда Фурье-образ $f(x)$ имеет вид

$$F(\omega) = \pi \sum_k [A_k \delta(\omega + \omega_k) + A_k^* \delta(\omega - \omega_k)], \quad (4)$$

а его модуль

$$|F(\omega)| = \pi \sum_k |A_k| [\delta(\omega + \omega_k) + \delta(\omega - \omega_k)] \quad (5)$$

зависит лишь от интенсивностей спектральных линий и не содержит информации о фазовых сдвигах в возникающих в (3) тригонометрических функциях. Поскольку $|F(\omega)|$ является чет-

¹ На Рис.14 работы [5] Фурье-спектр тонкой проволоочки сравнивается со спектром маленького колечка; последний обнаруживает дополнительные осцилляции, связанные с эффектом Ааронова–Бома. При этом аперидические осцилляции не были предметом для обсуждения и их спектр, который в силу резкого обрезания носил хаотический характер, был огрублен авторами и представлен в виде огибающей по осцилляциям. Последнее выявляется путем сопоставления с Рис.12,13 работы [5], где хаотические осцилляции присутствуют в явном виде.

ной функцией, то можно ограничиться положительными значениями ω и опустить первую дельта-функцию в (5).

Поскольку функция $f(x)$ может быть экспериментально измерена лишь в некотором конечном интервале значений x , то практически мы имеем

$$f(x) = \frac{1}{2} \sum_k [A_k e^{i\omega_k x} + A_k^* e^{-i\omega_k x}] G(x), \quad (6)$$

где функция $G(x)$ равна единице внутри рабочего интервала и нулю вне его; в дальнейшем она будет подвержена сглаживанию. Тогда вместо (4) получим

$$F(\omega) = \frac{1}{2} \sum_k [A_k g(\omega + \omega_k) + A_k^* g(\omega - \omega_k)], \quad (7)$$

где $g(\omega)$ — Фурье-образ $G(x)$, который является действительным, если $G(x)$ выбрана четной. Таким образом, ограничение рабочего интервала приводит к замене дельта-функций на спектральные линии конечной ширины. Если дискретные частоты являются хорошо разделенными, а $g(\omega)$ сильно локализована вблизи нуля, то можно пренебречь перекрытием функций $g(\omega \pm \omega_k)$ и записать при положительных частотах

$$|F(\omega)|^2 \approx \frac{1}{4} \sum_k |A_k|^2 g^2(\omega - \omega_k). \quad (8)$$

Использование функции $|F(\omega)|^2$ (т.н. спектра мощности [9]) является предпочтительным, так как интеграл от нее по всем частотам равен интегралу от $f^2(x)$ по всем x ; поэтому изменение спектра $f(x)$ при неизменности среднеквадратичной флуктуации приводит к перераспределению интенсивностей между различными частотами при сохранении полной мощности спектра.

Нетрудно видеть, что для получения четкой картины в случае дискретного спектра нужно иметь по-возможности более узкую форму спектральных линий $g^2(\omega)$, что обеспечивается надлежащим выбором функции $G(x)$. Общая стратегия определяется свойствами интегралов от быстро осциллирующих функций [10]. Если $f(x)$ является разрывной, то ее Фурье-образ спадает как $1/\omega$ на больших частотах; если разрыв имеет n -я производная, то соответственно $F(\omega) \sim \omega^{-n-1}$. В случае гладкой $f(x)$ ее интеграл Фурье вычисляется путем сдвига контура в комплексную плоскость и определяется ближайшей сингулярностью или перевальной точкой, что приводит к

зависимости $F(\omega) \sim \exp(-\alpha\omega)$. Если регулярная функция получена путем слабого сглаживания сингулярности, то показатель α является малым и экспонента проявляется лишь при очень больших ω , тогда как в остальной области сохраняется поведение, соответствующее сингулярности. В нашем случае требуется сгладить разрывность функции $G(x)$, которой соответствует поведение $g(\omega) \sim \sin \omega a / \omega$. При этом слабое сглаживание не эффективно, а сильное сглаживание приводит к уменьшению $G(x)$ вблизи границ рабочего интервала и потере экспериментальной информации; поэтому требуется некоторый разумный компромисс.

Выберем функцию $G(x)$ в виде симметризованного по x распределения Ферми

$$G(x) = \frac{1}{1 + e^{(x-\mu)/T} + e^{-(x-\mu)/T}} = \frac{1}{1 + 2e^{-\mu/T} \operatorname{ch}(x/T)}, \quad (9)$$

Фурье-образ которого определяется интегралом

$$g(\omega) = \int_{-\infty}^{\infty} \frac{e^{i\omega x} dx}{b \operatorname{ch} \beta x + c} = \frac{2\pi}{b\beta \operatorname{sh} x_0} \frac{\sin(\omega x_0 / \beta)}{\operatorname{sh}(\omega \pi / \beta)}, \quad (10)$$

$$x_0 = \operatorname{arch}(c/b).$$

В нашем случае при выборе $x = B - \mu_0$ экспериментальные данные соответствуют интервалу $|x| \leq \mu_0$ с $\mu_0 = 4$ (при измерении в теслах). Мы приняли $\mu = \mu_0 - 4T$, что обеспечивает малое значение $G(\mu_0) \approx 0.02$ на границе интервала. Как ясно из Рис.2, при малых T в основном сохраняется поведение $g(\omega) = 2 \sin \mu_0 \omega / \omega$, характерное для резкого обрезания (кривые 1, 2). Разумным представляется выбор $\mu = 2$, $T = 0.5$ (кривая 3), при котором эффективно используется 50% экспериментальных данных, а форма линии примерно такая же, как в случае $\mu = T \ln 2$, когда $x_0 = 0$, $g(\omega) = 2\pi T^2 \omega / \operatorname{sh} \pi T \omega$ и осцилляции полностью исчезают (кривая 4).

Обработка экспериментальных данных (Рис.1) с использованием указанной сглаживающей функции приводит к результатам, показанным на Рис.3. Спектр очевидным образом состоит из дискретных линий, что подтверждает концепцию работы [6]. Однако, в интервале $\omega \lesssim 2\pi/\xi_B$ (где ξ_B оценивалось как среднее расстояние между соседними максимумами или минимумами на

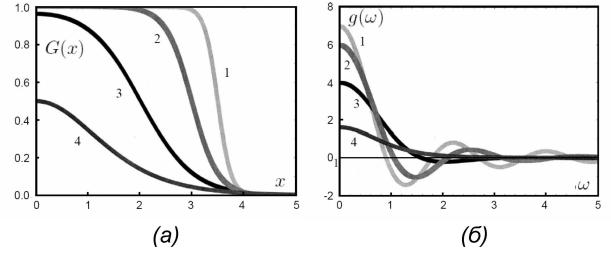


Рис. 2: а) Функция $G(x)$, определенная формулой (9), и б) ее Фурье-образ $g(\omega)$ при различных значениях μ и T : 1 — $\mu = 3.5$, $T = 0.125$; 2 — $\mu = 3$, $T = 0.25$; 3 — $\mu = 2$, $T = 0.5$; 4 — $\mu = T \ln 2$, $T = 0.8$.

Рис.1)² вид спектра напоминает дискретный белый шум: в грубом приближении линии эквидистантны, а их интенсивности примерно одинаковы. Поскольку сумма по частотам во многих случаях аппроксимируется интегралом, то дискретный белый шум по многим проявлениям не отличается от непрерывного. Пусть например

$$F(\omega) = \pi \sum_k [A_k \delta(\omega + \omega_k) + A_k^* \delta(\omega - \omega_k)] H(\omega), \quad (11)$$

где частоты ω_k эквидистантны ($\omega_{k+1} - \omega_k = \Delta$), модули A_k одинаковы ($|A_k| = A$), а фазы A_k полностью случайны; функция $H(\omega)$ ограничивает спектр интервалом $|\omega| \lesssim \Omega$ и предполагается четной. Тогда определяя $f(x)$ обратным Фурье-преобразованием, имеем для коррелятора

$$\langle f(x)f(x') \rangle = \frac{1}{2} \sum_k A^2 H^2(\omega_k) e^{i\omega_k(x-x')} \approx \frac{1}{2} A^2 \Delta h(x-x'), \quad (12)$$

где $h(x)$ — Фурье-образ $H^2(\omega)$. Если функция $H(\omega)$ является гладкой, то $h(x)$ экспоненциально убывает на масштабе Ω^{-1} ; это согласуется с диаграммными результатами [1, 2, 3, 4].

Таким образом, полученные результаты фактически примиряют две альтернативы, указанные в начале работы. С одной стороны — спектр

² При обработке Рис.1 был сильно увеличен и оцифрован вручную. При этом выясняется, что резкие выбросы на Рис.1 связаны с вертикальными штрихами, указывающими экспериментальную погрешность, тогда как фактически зависимость $G(B)$ является гладкой.

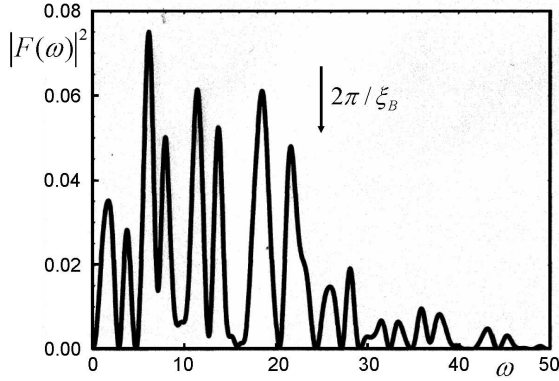


Рис. 3: Фурье-анализ экспериментальных данных Рис.1 со сглаживающей функцией (9) при $\mu = 2$, $T = 0.5$.

дискретный, подтверждая предложенную выше концепцию, согласно которой аperiодические осцилляции контактанса определяются суперпозицией несоизмеримых гармоник. С другой стороны спектр в целом приблизительно соответствует дискретному белому шуму, который по свойствам близок к непрерывному.

Приложение. Вывод уравнения (2)

Рассмотрим одномерную модель Андерсона, определяемую дискретным уравнением Шредингера

$$\Psi_{n+1} + \Psi_{n-1} + V_n \Psi_n = E \Psi_n, \quad (A.1)$$

где E — энергия, отсчитанная от центра зоны, V_n — независимые случайные величины с нулевым средним и дисперсией W^2 ; интеграл перекрытия принят за единицу. Перепишывая (A.1) в виде

$$\begin{pmatrix} \Psi_{n+1} \\ \Psi_n \end{pmatrix} = \begin{pmatrix} E - V_n & -1 \\ 1 & 0 \end{pmatrix} \begin{pmatrix} \Psi_n \\ \Psi_{n-1} \end{pmatrix}, \quad (A.2)$$

и итерируя n раз, легко получить

$$\begin{pmatrix} \Psi_{n+1} \\ \Psi_n \end{pmatrix} = \tau \begin{pmatrix} \Psi_1 \\ \Psi_0 \end{pmatrix} = \begin{pmatrix} \tau_{11} & \tau_{12} \\ \tau_{21} & \tau_{22} \end{pmatrix} \begin{pmatrix} \Psi_1 \\ \Psi_0 \end{pmatrix}, \quad (A.3)$$

где матрица τ является произведением n матриц типа (A.2). Для нее справедливо очевидное рекуррентное соотношение, которое в терминах матричных элементов может быть записано в виде

$$y_{n+1} = (E - V_n)y_n + z_n, \quad z_{n+1} = -y_n, \quad (A.4)$$

где $y_n = \tau_{12}^{(n-1)}$, $z_n = \tau_{11}^{(n-1)}$, либо $y_n = \tau_{22}^{(n-1)}$, $z_n = \tau_{21}^{(n-1)}$. Существенно, что $y^{(n-1)}$, $z^{(n-1)}$ не содержат величины V_n и могут усредняться независимо от нее. Для вторых моментов нетрудно получить

$$\begin{pmatrix} \overline{y_{n+1}^2} \\ \overline{y_{n+1}z_{n+1}} \\ \overline{z_{n+1}^2} \end{pmatrix} = \begin{pmatrix} E^2 + W^2 & 2E & 1 \\ -E & -1 & 0 \\ 1 & 0 & 0 \end{pmatrix} \begin{pmatrix} \overline{y_n^2} \\ \overline{y_n z_n} \\ \overline{z_n^2} \end{pmatrix}, \quad (A.5)$$

Предполагая для моментов экспоненциальный рост λ^n , легко видеть, что λ есть собственное значение матрицы в (A.5). Полагая $\lambda = 1 + x$, нетрудно получить уравнение для x , которое в пределе непрерывного уравнения Шредингера имеет вид

$$x(x^2 + 4\mathcal{E}) = 2W^2 \quad (A.6)$$

где \mathcal{E} — энергия, отсчитанная от края зоны. Аналогичным образом можно получить уравнение для показателя роста четвертых моментов

$$x(x^2 + 4\mathcal{E})(x^2 + 16\mathcal{E}) = 42W^2x^2 + 96W^2\mathcal{E}. \quad (A.7)$$

Структура уравнений для произвольных $2n$ -х моментов может быть установлена на основе аргументации раздела 4 работы [6], где используется несколько другой формализм. В глубине разрешенной и запрещенной зон можно ограничиться диагональными элементами в матрицах (43), (47) этой работы и их аналогах для высших моментов; это приводит к уравнению

$$\prod_{k=0}^{2n} [x + (n-k)\delta - B_n^k \epsilon^2] = O(\epsilon^4), \quad (A.8)$$

где $\epsilon^2 = W^2/4\mathcal{E}$, $\delta^2 = -\mathcal{E}$, $B_n^k = n(2n-1) + 3k(k-2n)$. Аналогичное уравнение вблизи края зоны

$$x^{2n+1} = \sum_{k=0}^{k_{max}} C_k W^{2k} x^{2n+1-3k}, \quad k_{max} = \left\lfloor \frac{2n+1}{3} \right\rfloor \quad (A.9)$$

следует из того, что при $x \sim \delta \sim \epsilon^2$ все члены уравнения имеют один порядок величины, и допустимы лишь комбинации $\delta^{2n} \epsilon^{2m}$ с $n \geq m$, из которых конечными при $\delta \rightarrow 0$ остаются лишь $\delta^{2n} \epsilon^{2n} \sim W^{2n}$.

Ландауэровское сопротивление ρ определяется квадратичной формой от матричных элементов τ_{ij} [6], поэтому показатели роста для $\langle \rho^n \rangle$ совпадают с таковыми для $2n$ -х моментов τ_{ij} . Выражение для $\langle \rho^n \rangle$ содержит линейную комбинацию

соответствующих экспонент, что с учетом комплексности показателей приводит к уравнению (2).

Список литературы

- [1] Б. Л. Альтшулер, Письма в ЖЭТФ **41**, 530 (1985).
- [2] Б. Л. Альтшулер, Д. Е. Хмельницкий, Письма в ЖЭТФ **42**, 291 (1985).
- [3] P. A. Lee, A. D. Stone, Phys. Rev. Lett. **55**, 1622 (1985).
- [4] P. A. Lee, A. D. Stone, Y. Fukuyama, Phys. Rev. B **35**, 1039 (1987).
- [5] S. Washburn, R. A. Webb, Adv. Phys. **35**, 375 (1986).
- [6] И. М. Суслов, ЖЭТФ **156**, 950 (2019).
- [7] Л. Д. Ландау, Е. М. Лифшиц, Квантовая механика, Москва, Наука, 1974.
- [8] D. Mailly, M. Sanquer, J. Phys. (France) I **2**, 357 (1992).
- [9] W. H. Press, B. P. Flannery, S. A. Teukolsky, W. T. Wetterling, Numerical Recipes in Fortran, Cambridge University Press, 1992.
- [10] А. Б. Мигдал, Качественные методы в квантовой теории, Москва, Наука, 1975.